

7. Kontinuum

Anotace

Kontinuum - obecné pojmy.

Kinematika kontinua. Tenzor napětí, tenzor deformace a tenzor rychlosti deformace. Rovnice rovnováhy a pohybová rovnice kontinua.

Studium – **pohybu tekutin** (kapaliny, plyny)

– deformační chování látek - **elastické × plastické**

Makroskopický (fenomenologický) popis

Spojité prostředí:

- **Průměrné hodnoty veličin** v okolí vyšetřovaného bodu
- Neprojevuje se struktura látek
- Částice (element) kontinua
- Pohyb kontinua/deformace – dochází ke **změně vzájemných vzdáleností částic**

Kontinuum

⊕ **model kontinua** (model spojitého prostředí) :

- a) prostor je spojitý (**souvislá množina M_G geometrických bodů B_G**)
- b) každé těleso je spojité (můžeme je chápout jako souvislou množinu M_M materiálových bodů B_M)

Axiom kontinuity:

V každém okamžiku je každému bodu prostoru přiřazen materiálový bod

Diskrétní model



Spojitý model

vlastnosti látky na poloze jsou vyjádřeny diskrétními hodnotami

vlastnosti látky na poloze jsou vyjádřeny spojitými funkcemi

Popis kontinua

2 typy přístupů:

- **I. Eulerova metoda**

dvě odlišné
referenční soustavy

V prostoru si vybereme jeden pevný bod B_G a sledujeme vlastnosti (např. rychlosť, zrychlení, teplotu, tlak) **různých materiálových bodů** B_M v **daném bodě prostoru** v různých časových okamžicích. (látka se pohybuje prostorem a deformuje se).

$$\vec{r} = (x_1, x_2, x_3) \quad x_i = x_i(X_j, t) \quad i = 1, 2, 3$$

Eulerovy souřadnice

př.použití: popis proudění kapalin, plynů, počasí

- **II. Lagrangeova metoda**

částici kontinua

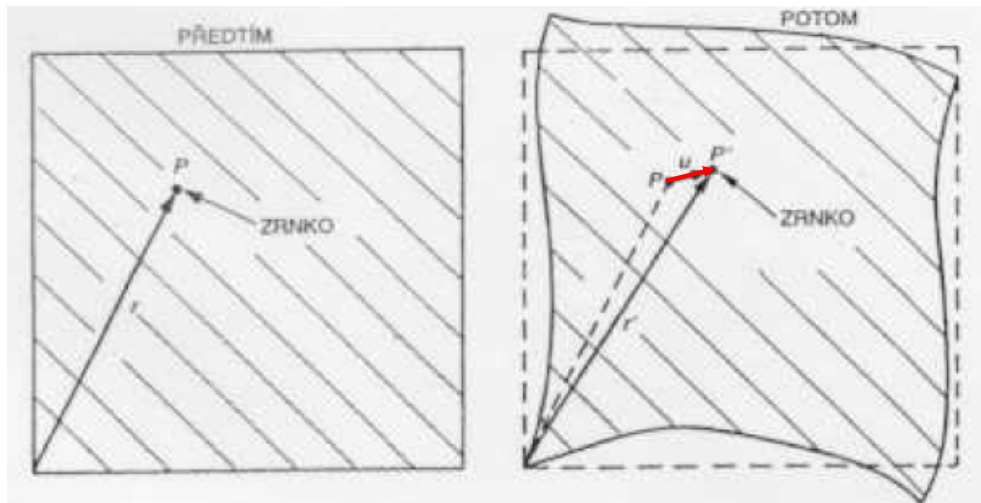
Vybereme si jeden materiálový bod B_M a sledujeme jeho pohyb v čase (změny polohy, trajektorii, rychlosť, zrychlení) a změny jeho **vlastností** (např. změny teploty, tlaku,...).

$$\vec{R} = (X_1, X_2, X_3) \quad X_j = X_j(x_i, t) \quad j = 1, 2, 3$$

Lagrangeovy souřadnice

př.použití: popis deformace 3

Deformace kontinua



Každý materiálový bod se posouvá jiným způsobem, mění se vzájemná vzdálenost jednotl. bodů kontinua

Deformace kontinua

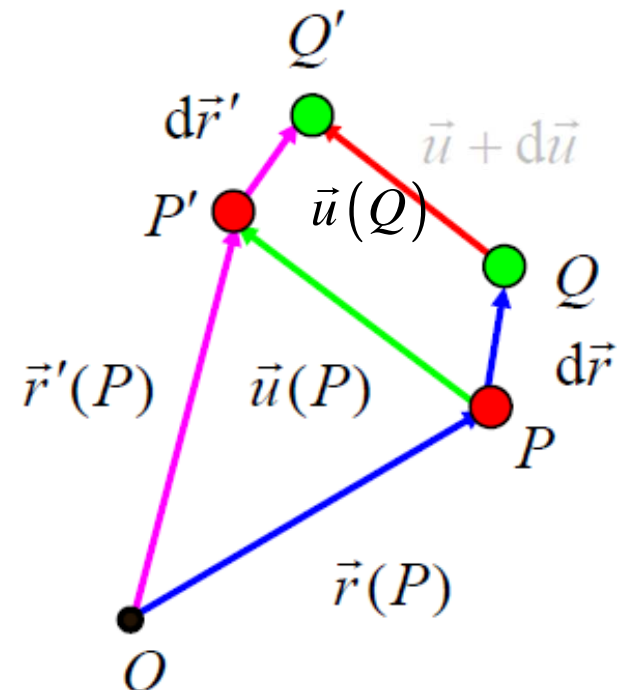
spojité prostředí může konat **translaci, rotaci a může se deformovat**

vektor posunutí - rozdíl polohových vektorů před a po deformaci

$$\begin{aligned}\vec{u}(P) &= \vec{r}'(P) - \vec{r}(P) \\ \vec{u}(Q) + d\vec{r} &= \vec{u}(P) + d\vec{r}'\end{aligned}$$

$$\vec{u}(Q) = \vec{u}(P) + d\vec{u}$$

deformace
kontinua



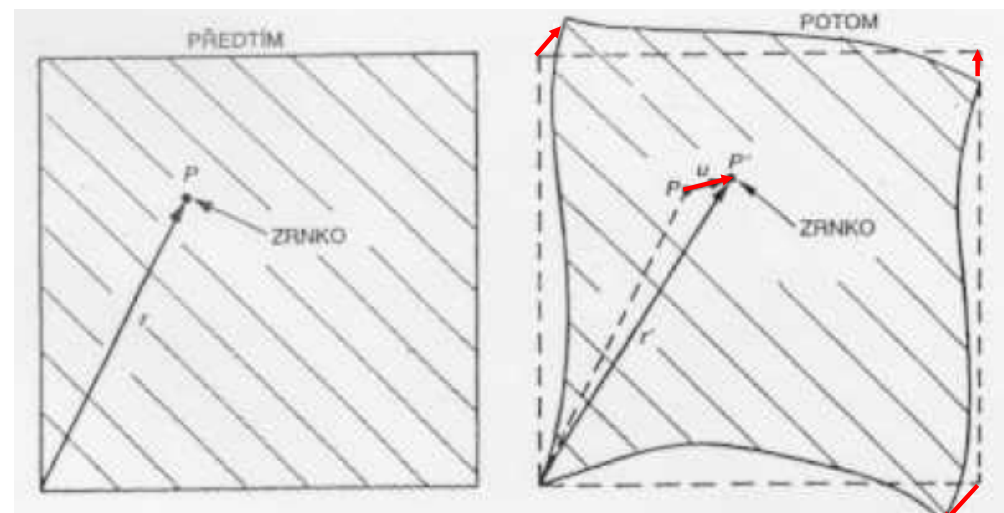
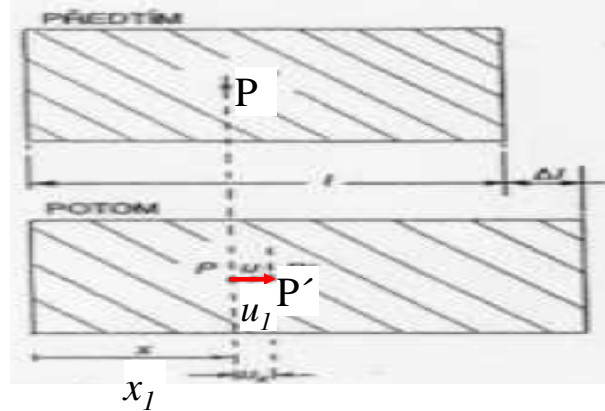
r průvodič vybraného bodu v nedeformovaném tělese

r' průvodič stejného bodu v deformovaném tělese

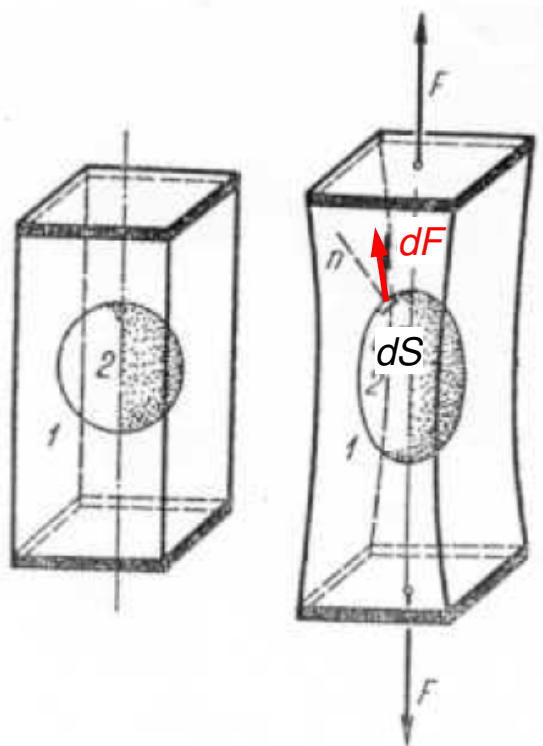
$u = f(r)$... posunutí je závislé na souřadnicích (mění se místo od místa, jinak posunutí jako celku)

Mění se vzájemná vzdálenost jednotl.bodů kontinua

Deformace kontinua – síly v kontinuu



Zrnko látky v bodě P nedeformovaného bloku se při deformaci přemístí do bodu P'



- Kontinuum je v rovnováze → na každé ploše je síla působící z jedné strany kompenzována stejnou silou působící z 2.strany
- V osách elipsoidu – síly kolmé k povrchu → působí pouze **normálová napětí**
- V ostatních směrech existují jak normálové tak **tečné složky (tečná napětí)**, tečné složky způsobují změnu tvaru tělesa, viz dále
- Pozn. napětí mezi sousedními částicemi (tj. vnitřní elestické síly) drží látku pohromadě

Síly v kontinuu

Síly působící v kontinuu:

1. Vnitřní \times vnější
2. **Objemové** (nejčastěji gravitační) \times **povrchové** (plošné)

Objemové ($\sim m$)

Síly dlouhého dosahu
(síly objemové)



Povrchové (plošné)

Síly krátkého dosahu
(síly povrchové)

působí bezprostředně na velké vzdálenosti (např. gravitační síla)

působí na celý objem (a nikoli pouze na jeho povrch)
vyšetřovaného objektu

působí nezávisle na silách, působících na sousední elementy

působí pouze mezi nejbližšími molekulami (molekulární síly).

vnější síla působí pouze na molekuly tvorící povrch zkoumaného tělesa (povrchové síly) - např. tlak, tření atd.

účinek povrchových sil ovšem nekončí na povrchu tělesa

Plošné síly

Plošné (povrchové) síly → jsou zodpovědné za deformaci kontinua

- Při deformaci kontinua dojde tedy ke změně rovnovážné polohy částic, což má za následek **vznik sil mezi částicemi**, které se snaží kontinuum vrátit do původního stavu.
- Deformované kontinuum se dostává do stavu **napjatosti**. Charakterizujeme jej veličinou, která se nazývá **napětí** (viz obr. – trojosý elipsoid v deformovaném tělese)
- Nahrazujeme vnitřní působení → působením vnějším (lze kvantifikovat)

plošná hustota povrchové síly
(vektor napětí) $\vec{\sigma}$



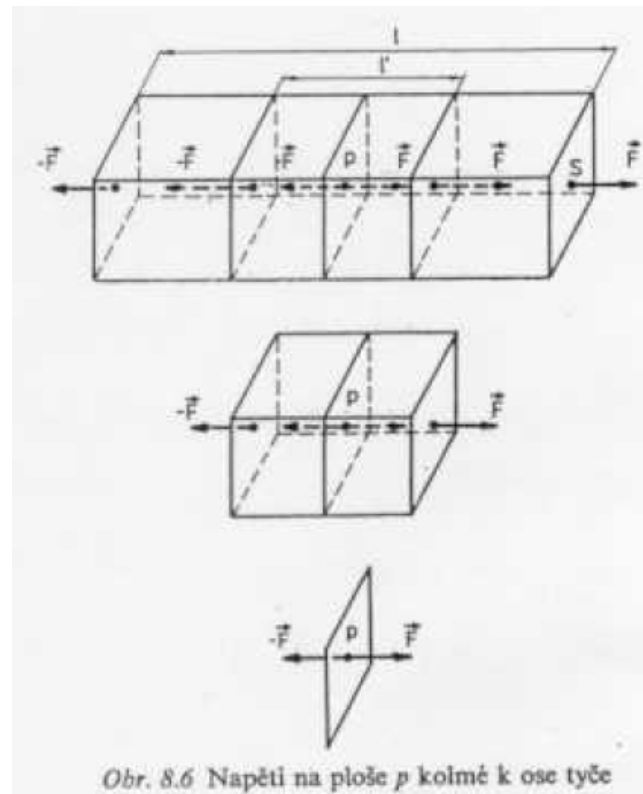
síla působící na
jednotkovou plochu
povrchu

Napětí ... $1 \text{ N/m}^2 = 1 \text{ Pa}$

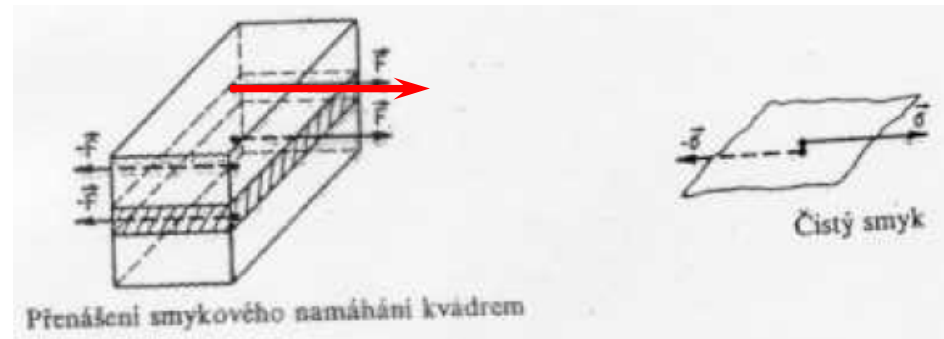
$$\vec{\sigma} = \frac{d\vec{F}_P}{dS}$$

napětí v příslušném místě myšlené plochy, která odděluje navzájem různé části kontinua v napjatém stavu

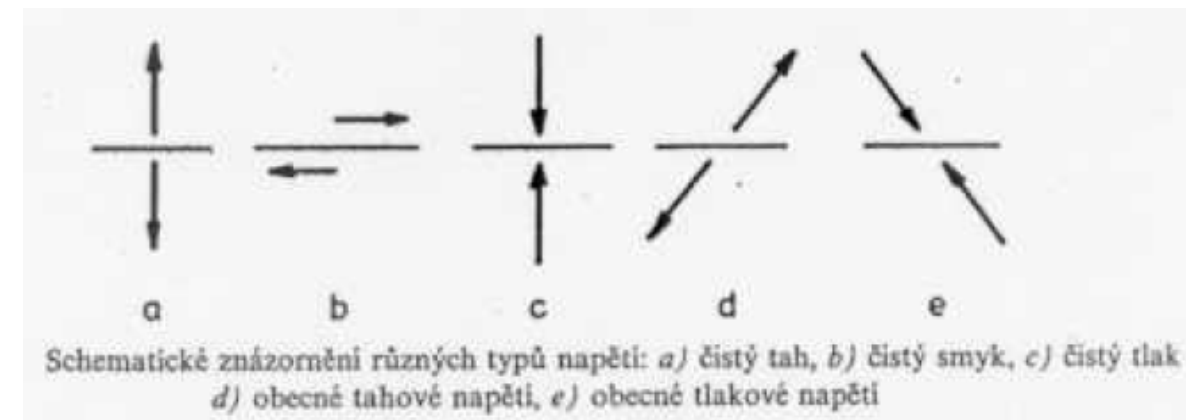
Plošné síly



Obr. 8.6 Napětí na ploše p kolmě k ose tyče



Přenášení snykového namáhání kvádrem



Schematické znázornění různých typů napětí: a) čistý tah, b) čistý smyk, c) čistý tlak
d) obecné tahové napětí, e) obecné tlakové napětí

Napětí:

- přenáší se na plochu S (libovolně zvolenou)
- nezávisí na tom, jak je síla realizována - v dostatečné vzdálenosti od působiště ji můžeme nahradit silou vnější (Saint Venantův princip)

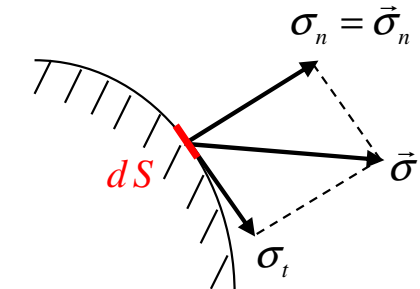
Síly v kontinuu

Obecně působí elementární síla dF v libovolném směru vzhledem k normále n příslušného elementu plochy dS .

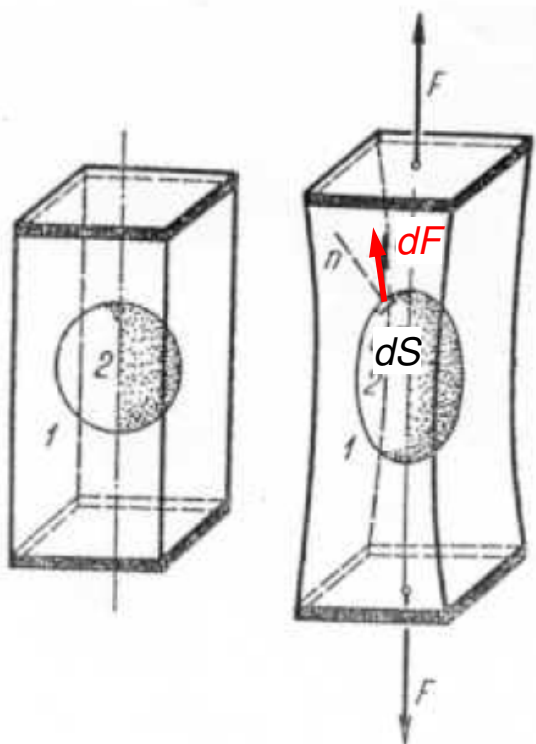
Rozklad →

normálové napětí $\vec{\sigma}_n = \frac{d\vec{F}_n}{dS}$

tečné napětí $\vec{\sigma}_t = \frac{d\vec{F}_t}{dS}$



- Normálové napětí – **tah/tlak** na ploše dS dvou částí kontinua
- Tečné napětí – způsobuje **změnu tvaru** jednotlivých elementů namáhaného kontinua
Pozn. K přechodu v elipsoid je třeba, aby normálová napětí v jednotlivých místech plochy byla různě veliká → s tím přímo souvisí přítomnost tečných napětí

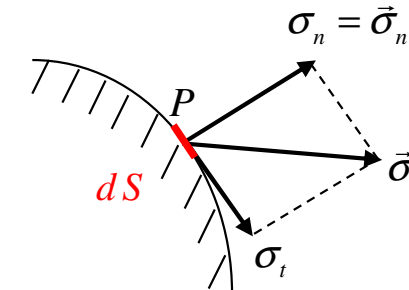


- V osách elipsoidu – síly kolmé k povrchu → **hlavní napětí**
- V ostatních směrech existují jak normálové tak tečné složky

Síly v kontinuu

dS – lib.ploška vytknutá v kontinuu: plošná síla dF i příslušné napětí $\sigma = dF/dS$ budou mít obecnou orientaci vůči této ploše

Znaménková konvence: pro uzavřenou plochu je
 $\sigma > 0$ pokud míří ven (tah)
 $\sigma < 0$ pokud míří dovnitř (tlak)



Daným bodem kontinua lze vést libovolný počet plošek dS

Napětí σ závisí i na orientaci plošky, tedy

$$\vec{\sigma} = f(\text{polohy, orientace plošky})$$

Tedy existuje ∞ mnoho plošek v bodě P $\Rightarrow \infty$ mnoho různých napětí v tomto bodě

Úloha: je-li známo napětí na některých z těchto plošek, vypočítat napětí v obecném směru a deformaci tělesa.

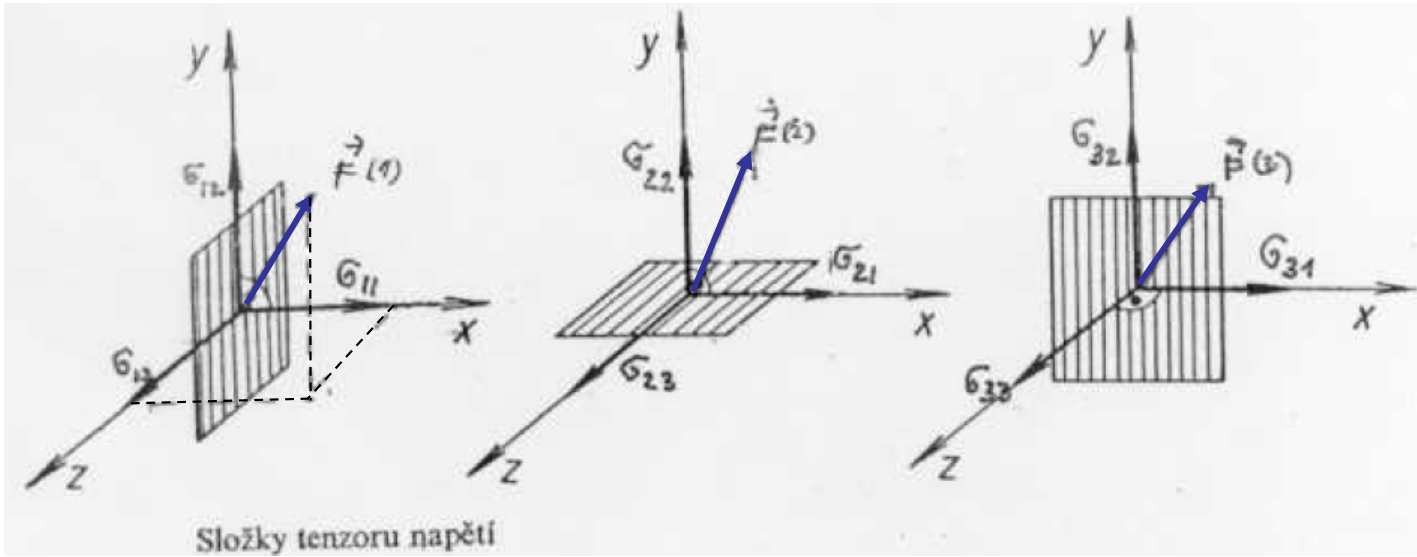
... řešitelné, pokud známe napětí na třech různých (nejlépe kolmých) ploškách:

Tenzor napětí

Postup: - zvolíme postupně 3 kolmé směry v bodě P kolmé k osám souřadnic

- na každé ploše provedeme rozklad sil do směru os

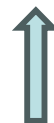
- složky napětí označíme dvěma indexy (odp. směru plochy a směru síly, viz. níže)



$$\sigma_{ij} = \frac{\Delta F_j^{(i)}}{\Delta S_i}$$

σ_{ij} „index síly“ (směr, v němž působí složka síly)

„index plochy“ (směr kolmice na plochu)



a) ploška $\perp x_1$, $\Delta S_1 = \Delta x_2 \cdot \Delta x_3$: b) ploška $\perp x_2$, $\Delta S_2 = \Delta x_1 \cdot \Delta x_3$: c) ploška $\perp x_3$, $\Delta S_3 = \Delta x_1 \cdot \Delta x_2$:

$$\sigma_{11} = \Delta F_1^{(1)} / \Delta S_1$$

$$\sigma_{12} = \Delta F_2^{(1)} / \Delta S_1$$

$$\sigma_{13} = \Delta F_3^{(1)} / \Delta S_1$$

$$\sigma_{21} = \Delta F_1^{(2)} / \Delta S_2$$

$$\sigma_{22} = \Delta F_2^{(2)} / \Delta S_2$$

$$\sigma_{23} = \Delta F_3^{(2)} / \Delta S_2$$

$$\sigma_{31} = \Delta F_1^{(3)} / \Delta S_3$$

$$\sigma_{32} = \Delta F_2^{(3)} / \Delta S_3$$

$$\sigma_{33} = \Delta F_3^{(3)} / \Delta S_3$$

Pozor - síla **závisí na orientaci** plošky, tedy $\mathbf{F}^{(1)} \neq \mathbf{F}^{(2)} \neq \mathbf{F}^{(3)}$

Tenzor napětí

Tenzor napětí: $\sigma = \begin{pmatrix} \sigma_{11} & \sigma_{12} & \sigma_{13} \\ \sigma_{21} & \sigma_{22} & \sigma_{23} \\ \sigma_{31} & \sigma_{32} & \sigma_{33} \end{pmatrix}$ ← 1. řádek = **napěťový vektor** (síla) působící na 1. stěnu, tj. síla $F^{(1)}/\Delta S_1$, atd....

$$\sigma_{ij} = \frac{\Delta F_j^{(i)}}{\Delta S_i} \quad \rightarrow$$

$$\sigma_{ij} = \frac{\partial F_j^{(i)}}{\partial S_i}$$

Pozn.: 9 čísel σ_{ij}

- se vztahuje ke zvolenému bodu P v napjatém tělese, tj. $\sigma_{ij} = f(\mathbf{r})$, mění se bod od bodu, hodnoty závisí i na orientaci plošky / s.s.
- stačí k úplnému popisu vnitřního napětí

Tenzor napětí

Fyzikální význam:

- ! σ_{ii} (diagonální složky) – **tah** ($\sigma_{ii} > 0$) resp. **tlak** ($\sigma_{ii} < 0$)
- ! σ_{ij} , $i \neq j$, (mimodiagon.složky) – **smyk (torze)**

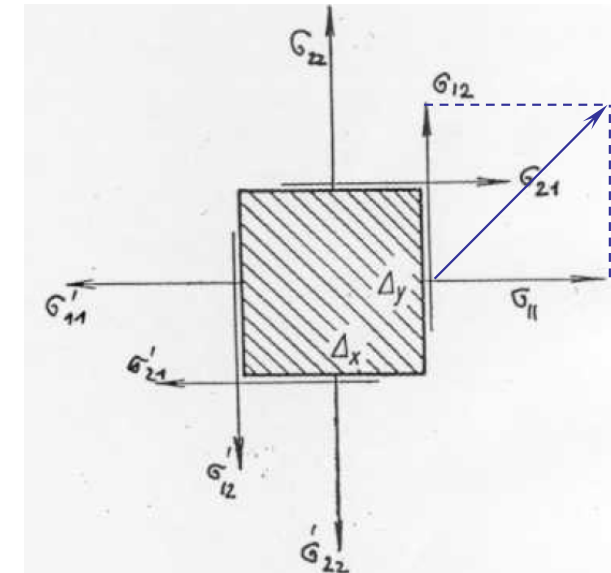
Rovnováha deformovaného tělesa:

- normálové složky: rovnováha sil: $\sigma_{11} = -\sigma'_{11}$ atd. $\sigma_{ij} = -\sigma'_{ij}$
- smykové složky – rovnováha momentů sil:

$$M_3 = \frac{1}{2}(a\sigma_{12} - a\sigma_{21})a^2 = 0 \quad \text{tj. } \sigma_{12} = \sigma_{21}, \text{ atd.}$$

$$\sigma_{ij} = \sigma_{ji}$$

symetrický tenzor 2.řádu



Malá (infinitesimální) krychlička, tj. na stěnách homogenní napětí, v limitě všechny plošky procházejí počátkem

⇒ Geometrická interpretace pomocí elipsoidu – **3 hlavní osy** → pro plochy kolmé na osy napětí je **čistým tahem / tlakem**

Tenzorové pole – každému bodu kontinua přiřazeno 6 čísel, mění se od bod u k bodu
Pozn. zvláštní typ tenzoru – vztahuje se k působícím silám, může mít lib.směr v látce

(× materiálové tenzory J , ε , μ ... - odráží symetrii systému a mají definovanou orientaci v krystalu, pro izotropní krystaly to jsou skaláry)

Vektor napětí

Hledáme **velikost vektoru napětí** na ploše určenou směrem jednotk. vektoru $\mathbf{n} = (a_1, a_2, a_3)$, kde $a_i \equiv \cos \alpha_i$

$$\Delta S_1 = \Delta S a_1, \quad \Delta S_2 = \Delta S a_2, \quad \Delta S_3 = \Delta S a_3$$

Rovnováha na čtyřstěnu: síly působící na jeho 4 stěny objemové síly zanedbáme ($\sim \Delta x_1 \Delta x_2 \Delta x_3$)
plošné síly v rovnováze ($\sim \Delta x_1 \Delta x_2$):

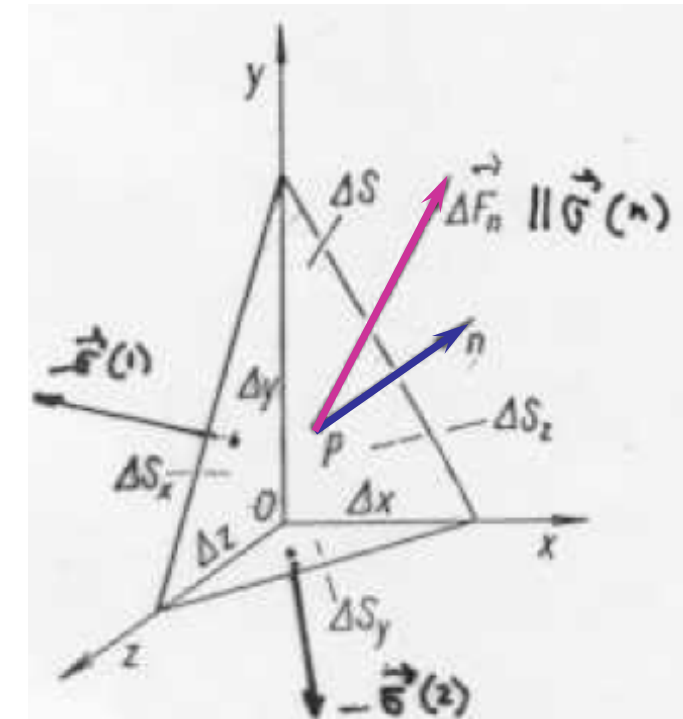
$$F_1^{(n)} = \sigma_{11} \Delta S_1 + \sigma_{21} \Delta S_2 + \sigma_{31} \Delta S_3 = (\sigma_{11} a_1 + \sigma_{21} a_2 + \sigma_{31} a_3) \Delta S$$

$$F_2^{(n)} = \sigma_{12} \Delta S_1 + \sigma_{22} \Delta S_2 + \sigma_{32} \Delta S_3 = (\sigma_{12} a_1 + \sigma_{22} a_2 + \sigma_{32} a_3) \Delta S$$

$$F_3^{(n)} = \sigma_{13} \Delta S_1 + \sigma_{23} \Delta S_2 + \sigma_{33} \Delta S_3 = (\sigma_{13} a_1 + \sigma_{23} a_2 + \sigma_{33} a_3) \Delta S$$

Složky vektoru napětí:

$$\frac{F_1^{(n)}}{\Delta S} \equiv \sigma_1^{(n)} = \sum \sigma_{i1} a_i \quad \text{atd. pro další složky}$$



Pozn. k obrázku: Působí-li napjaté kontinum v ploše ΔS na čtyřstěn silou ΔF_n , budou v rovnovážném stavu její složky stejně velké jako součet opačně orientovaných sil, jimiž v příslušném směru působí obklopující kontinuum na čtyřstěn v ostatních ploškách ΔS_x , ΔS_y , ΔS_z

Vektor napětí

Hledáme **velikost vektoru napětí** na ploše určenou směrem jednotk. vektoru $\mathbf{n} = (a_1, a_2, a_3)$

$$\frac{F_1^{(n)}}{\Delta S} \equiv \sigma_1^{(n)} = \sum \sigma_{i1} a_i \quad \text{atd. pro další složky, tedy:}$$

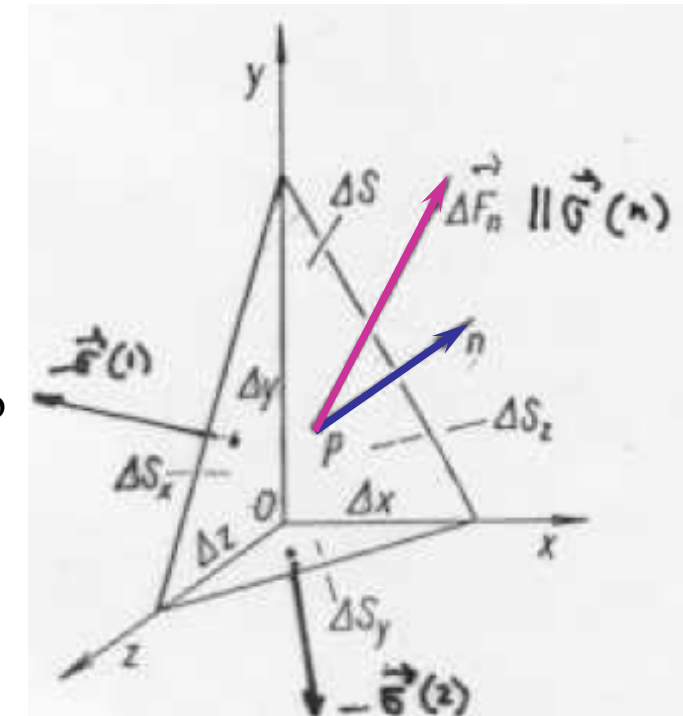
ve složkách: $\sigma_j^{(n)} = \sigma_{ij} a_i$ pozn.: používáme Einsteinovo sumační pravidlo

(složky vektoru napětí ve směru $\mathbf{n} = (a_1, a_2, a_3)$)

maticový zápis: $\vec{\sigma}^{(\bar{n})} = \hat{\sigma}^T \bar{n}$

$$\begin{pmatrix} \sigma_1^{(n)} \\ \sigma_2^{(n)} \\ \sigma_3^{(n)} \end{pmatrix} = \begin{pmatrix} \sigma_{11} & \sigma_{21} & \sigma_{31} \\ \sigma_{12} & \sigma_{22} & \sigma_{32} \\ \sigma_{13} & \sigma_{23} & \sigma_{33} \end{pmatrix} \begin{pmatrix} a_1 \\ a_2 \\ a_3 \end{pmatrix}$$

Př.: pro $\mathbf{n} = (1,0,0)$: $\sigma_1^{(n)} = \sigma_{11}$, $\sigma_2^{(n)} = \sigma_{12}$, $\sigma_3^{(n)} = \sigma_{13}$ tedy $\vec{\sigma}^{(n)} = (\sigma_{11}, \sigma_{12}, \sigma_{13})$... (1. řádek tenzoru)



Pozn. Diagonalizace tenzoru – fyzikálně najít v daném bodě směry, kdy napětí je čistým tahem/tlakem – hlavní napětí (hlavní osy) – řešení sekulární rovnice

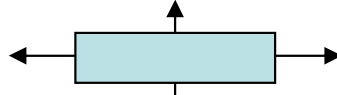
Tenzor napětí

Příklady:

Jednoosé napětí

$$\begin{pmatrix} \sigma & 0 & 0 \\ 0 & 0 & 0 \\ 0 & 0 & 0 \end{pmatrix}$$

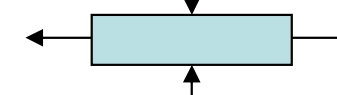

2-osé napětí

$$\begin{pmatrix} \sigma_1 & 0 & 0 \\ 0 & \sigma_2 & 0 \\ 0 & 0 & 0 \end{pmatrix}$$


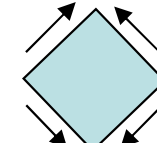
3-osé
(hydrstat.tlak)

$$\begin{pmatrix} -p & 0 & 0 \\ 0 & -p & 0 \\ 0 & 0 & -p \end{pmatrix} \quad \sigma_{ij} = -p\delta_{ij}, \quad p > 0 \quad (\text{v tekutině jsou smyková napětí } = 0)$$

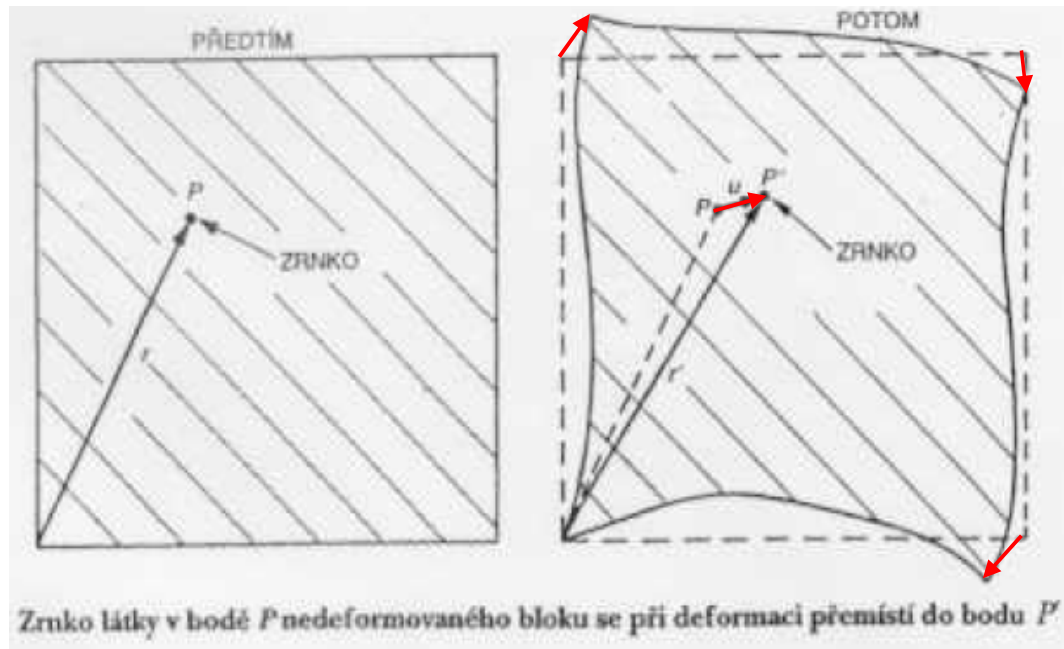
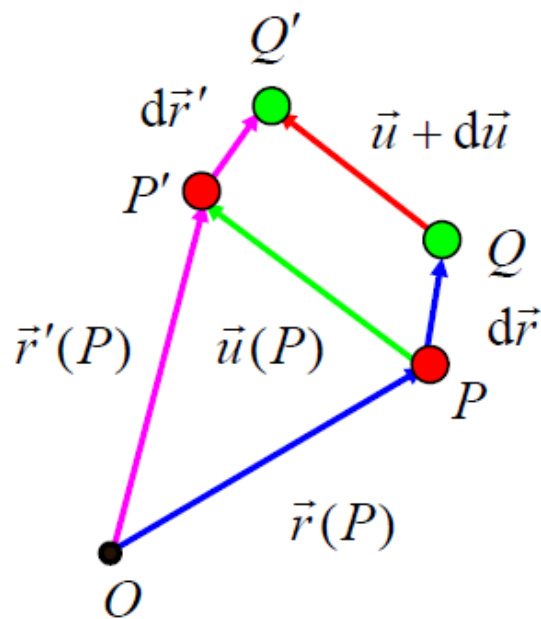
Smyková napětí

$$\begin{pmatrix} \sigma & 0 & 0 \\ 0 & -\sigma & 0 \\ 0 & 0 & 0 \end{pmatrix}$$


torze

$$\begin{pmatrix} 0 & \sigma & 0 \\ \sigma & 0 & 0 \\ 0 & 0 & 0 \end{pmatrix}$$


Deformace



V důsledku napjatosti tělesa vznikají deformace, obecně různé v každém bodě tělesa

Vektor posunutí:
$$\vec{u} = \vec{r}' - \vec{r}$$

$$u_i = x_i' - x_i \quad \dots \text{posunutí ve směru } i$$

r průvodič vybraného bodu v nenapjatém tělese

r' průvodič stejného bodu v napjatém tělese

$\boldsymbol{u} = f(\boldsymbol{r})$... posunutí je závislé na souřadnicích (mění se místo od místa, jinak posunutí jako celku)

Tenzor deformace

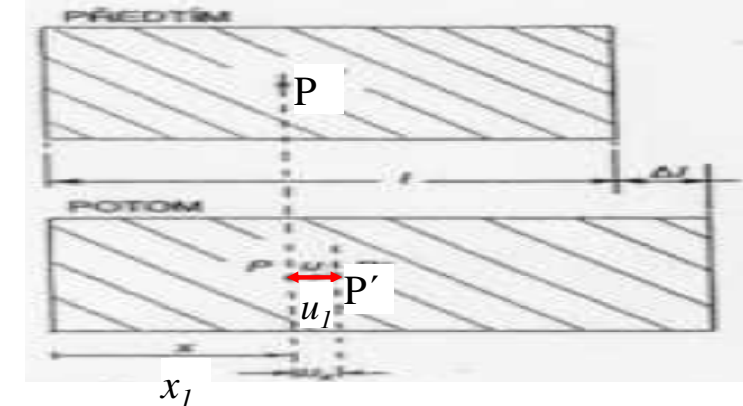
A) Jednoosý tah

(deformace tenké tyče, v celé tyči stejná):

$$\frac{\Delta l}{l} \equiv \frac{u_1}{x_1} = \varepsilon_{11}$$

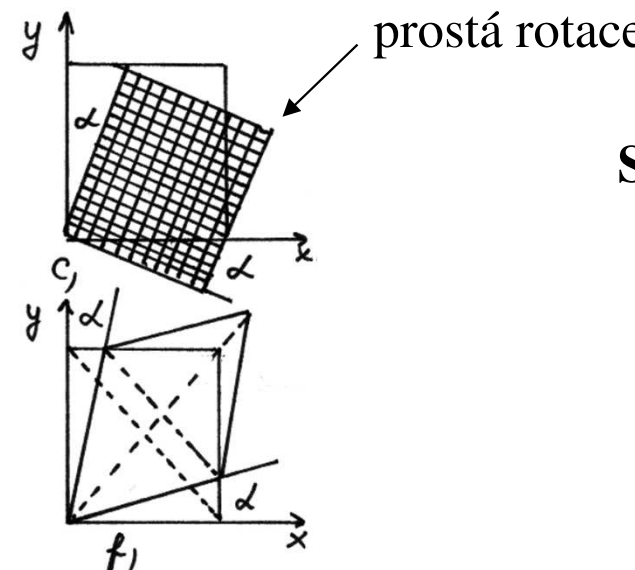
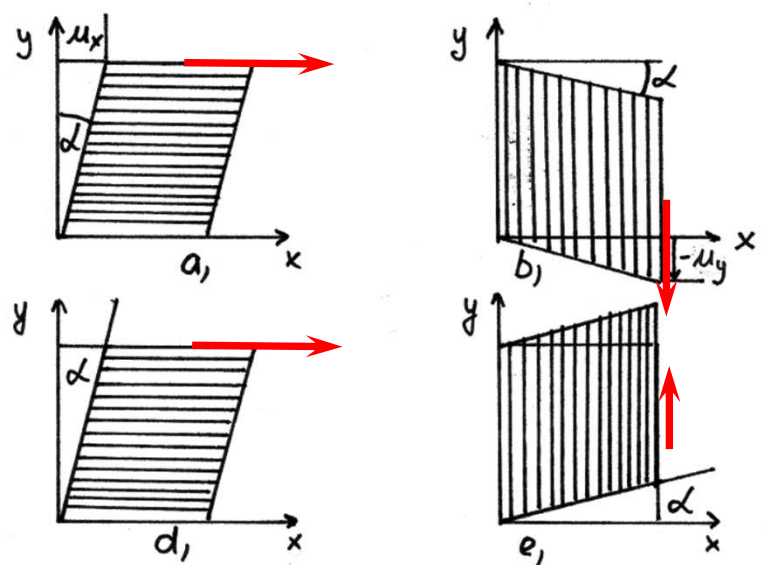
Lokální deformace v bodě P:

$$\varepsilon_{11} = \frac{\partial u_1}{\partial x_1} \quad \text{obecně: } \varepsilon_{ii} = \frac{\partial u_i}{\partial x_i} \quad \dots \text{relat.změna délky elementu ve směru osy } i$$



Deformace tyče při prostém tahu.

B) Smyková deformace



Smyková deformace

Deformace hranolu při prostém smyku.

Tenzor deformace

Smyková deformace

$$\tan \frac{\alpha}{2} \approx \frac{\alpha}{2} = \frac{u_1}{x_2} = \varepsilon_{12} \quad \frac{\alpha}{2} = \frac{u_2}{x_1} = \varepsilon_{21}$$

Lokální deformace v bodě P: $\varepsilon_{12} = \frac{\partial u_1}{\partial x_2}$ $\varepsilon_{21} = \frac{\partial u_2}{\partial x_1}$ atd.

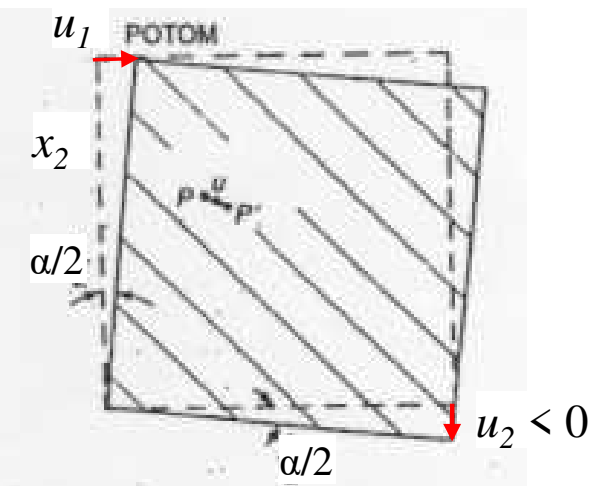
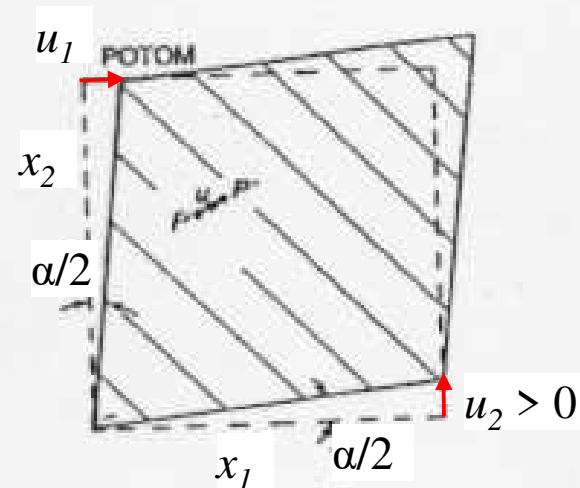
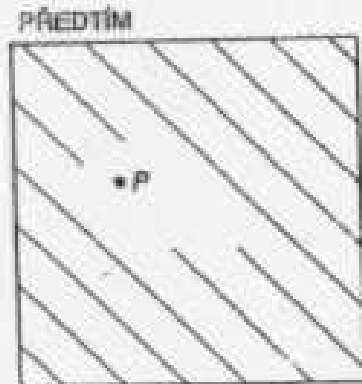
Obecně:

$$\varepsilon_{ij} = \frac{\partial u_i}{\partial x_j}$$

ε^{ij}

↑ normála ke směru posunutí
směr posunutí

Pozor: pokud $\varepsilon_{12} = -\varepsilon_{21}$... homogenní rotace \Rightarrow ot.: **jak odlišit rotaci od deformace?**



Homogenní deformace ve smyku

Homogenní rotace bez deformace

Tenzor deformace

Definuji: $e_{ij} = (\varepsilon_{ij} + \varepsilon_{ji})/2$, neboli:

tenzor malých deformací:

$$e_{ij} = \frac{1}{2} \left(\frac{\partial u_j}{\partial x_i} + \frac{\partial u_i}{\partial x_j} \right)$$

$$e = \begin{pmatrix} e_{11} & e_{12} & e_{13} \\ e_{12} & e_{22} & e_{23} \\ e_{13} & e_{23} & e_{33} \end{pmatrix}$$

Symetrický tenzor, platí: $e_{ij} = e_{ji}$

Pro homogenní rotaci: $e_{ij} = 0$ (neboť $\varepsilon_{12} = -\varepsilon_{21}$),

$$\text{tenzor rotací } = \frac{1}{2} \left(\frac{\partial u_j}{\partial x_i} - \frac{\partial u_i}{\partial x_j} \right)$$

!Fyzikální význam:

e_{ii} ... relat.změna délky elementu ve směru, který byl původně ve směru i

e_{ij} ... smykový úhel ($\alpha_{ij}/2$) o který se deformací změní původně pravý úhel mezi elementy původně $\parallel x_1$ a x_2

Shrnutí: čísla e_{ij} udávají jak se změní délky v diferenciálním okolí daného bodu r

Hodnoty e_{ij} se mění bod od bodu – tenzorové pole deformací

Tenzor rychlosti deformace

Závislost deformace na čase:

$$\frac{\partial e_{ij}}{\partial t} = \frac{1}{2} \left(\frac{\partial^2 u_j}{\partial t \partial x_i} + \frac{\partial^2 u_i}{\partial t \partial x_j} \right) = \frac{1}{2} \left(\frac{\partial v_j}{\partial x_i} + \frac{\partial v_i}{\partial x_j} \right) = D_{ij} \quad \text{tenzor rychlosti deformace}$$

kde $v_i = \frac{\partial u_i}{\partial t}$ - **rychllosť posunutí**

Rychlosť v diferenciálnom okolí lib.bodu x_j :

$$v_i(x_j + dx_j, t) = v_i(x_j, t) + \underbrace{\frac{\partial v_i}{\partial x_j} dx_j}_{\text{rychllosť translace}} + \dots \equiv v_i(x_j, t) + \underbrace{\frac{1}{2} \left(\frac{\partial v_i}{\partial x_j} - \frac{\partial v_j}{\partial x_i} \right) dx_j}_{\text{rychllosť rotace}} + \underbrace{\frac{1}{2} \left(\frac{\partial v_i}{\partial x_j} + \frac{\partial v_j}{\partial x_i} \right) dx_j}_{\text{rychllosť deformace s jakou se mění vzdálenost částic v okolí bodu } x_j}$$

(pohyb kontinua jako celku)

Helmholtzova věta:

Pohyb kontinua v okolí lib.bodu lze rozložit na pohyb translační, rotační a deformační

Pozn. V případě existence všech konečných derivací funkce v bodě a , Taylorův rozvoj:

$$f(x) = f(a) + \frac{f'(a)}{1!}(x-a) + \frac{f''(a)}{2!}(x-a)^2 + \frac{f^{(3)}(a)}{3!}(x-a)^3 + \dots = \sum_{k=0}^{\infty} \frac{f^{(k)}(a)}{k!}(x-a)^k$$

Operátor rotace

Operátor rotace:



$$\text{rot } \vec{v} = [\nabla \times \vec{v}]$$

Ve složkách: $(\vec{\nabla} \times \vec{v})_1 = \left(\frac{\partial v_3}{\partial x_2} - \frac{\partial v_2}{\partial x_3} \right)$... atd.

kde \vec{v} je lib.vektor a $\vec{\nabla} = \left(\frac{\partial}{\partial x_1}, \frac{\partial}{\partial x_2}, \frac{\partial}{\partial x_3} \right)$

rotační (vírový) pohyb v kontinuu resp. tekutině



Rovnice rovnováhy kontinua

Podmínka rovnováhy sil na kvádru konečného objemu:

$$(\vec{\sigma}^{(1)} - \vec{\sigma}'^{(1)})a_2a_3 + (\vec{\sigma}^{(2)} - \vec{\sigma}'^{(2)})a_3a_1 + (\vec{\sigma}^{(3)} - \vec{\sigma}'^{(3)})a_1a_2 + \vec{G}a_1a_2a_3 = 0$$

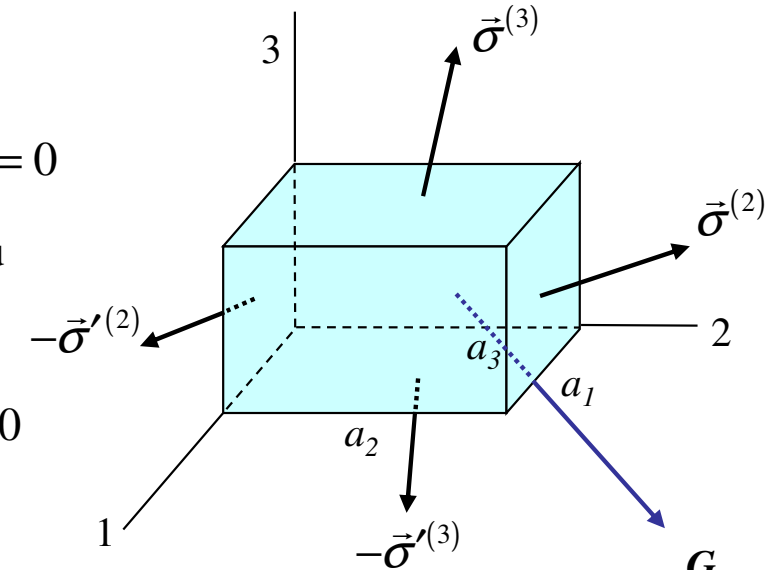
kde: $\vec{\sigma}^{(1)} = (\sigma_{11}, \sigma_{12}, \sigma_{13})$... napěťový vektor působící na 1. stěnu

ve složkách (3 rce pro složky $j=1,2,3$):

$$(\sigma_{1j} - \sigma'_{1j})a_2a_3 + (\sigma_{2j} - \sigma'_{2j})a_3a_1 + (\sigma_{3j} - \sigma'_{3j})a_1a_2 + G_ja_1a_2a_3 = 0$$

věta o střední hodnotě (v limitě → derivace):

$$\sigma_{11} - \sigma'_{11} = \frac{\partial \sigma_{11}}{\partial x_1} a_1 \quad \text{tj.} \quad \sigma_{ij} - \sigma'_{ij} = \frac{\partial \sigma_{ij}}{\partial x_j} a_i$$



$G = F/V$... **objemová síla**
(působící na jednotku objemu)

Rovnice rovnováhy kontinua:

$$\frac{\partial \sigma_{ij}}{\partial x_i} + G_j = 0$$

Pohybová rovnice kontinua (v diferenciálním tvaru):

$$\frac{\partial \sigma_{ij}}{\partial x_i} + G_j = \rho \frac{d^2 u_j}{dt^2}$$

ve složkách: $\frac{\partial \sigma_{11}}{\partial x_1} + \frac{\partial \sigma_{21}}{\partial x_2} + \frac{\partial \sigma_{31}}{\partial x_3} + G_1 = 0, \quad \text{atd.}$

pozn. užíváme Einsteinovu sčítací konvenci (tj. suma přes i)

$$\boldsymbol{\sigma} = \begin{pmatrix} \sigma_{11} & \sigma_{12} & \sigma_{13} \\ \sigma_{21} & \sigma_{22} & \sigma_{23} \\ \sigma_{31} & \sigma_{32} & \sigma_{33} \end{pmatrix}$$

Pohybová rovnice kontinua

Rovnováha kontinua nastane, bude-li výslednice všech vnějších sil (objemových i plošných) působících na dané kontinuum nulová:

$$\vec{F}_V + \vec{F}_S = 0$$

Při nenulové výslednici bude mít element kontinua zrychlení \vec{a}

$$\vec{F}_V + \vec{F}_S = m\vec{a}$$

Pro objem V kontinua uzavřený plochou S a hustoty ρ :

$$\int_V \rho \vec{I} dV + \oint_{S(V)} \vec{\sigma} dS = \int_V \rho \frac{d^2 \vec{u}}{dt^2} dV$$

celk. objemová
síla o intenzitě \vec{I}

celková
plošná síla

Pohybová rovnice kontinua
v integrálním tvaru

součet součinů hmotnosti a
zrychlení všech elementů
oblasti V